

## **Eindimensionaler Vorstellungs-Raums $\mathbb{R}_1$**

dargestellt durch eine bloße Raumrichtung in Polarisationsrichtung,  
in der Visualisierung eine leere gerade Linie, die willkürlich horizontal gewählt ist

eindimensionaler Vorstellungsraum  $\mathbb{R}_1$

---

**Bild 1**

## Eindimensionale analytische Geometrie des Vorstellungs-Raums $R_1$

dank Interpretation der Ausdrücke YIN-ROU-EINES und YANG-GANG-ALLES als Inbegriffe von ‚Integrität‘ bzw. ‚Diversität‘, eingegrenzt auf die finite Lebenswelt, zusätzlich mit Koordinatenachsen für Integritätsgrad (IG) und Diversitätsgrad (DG).

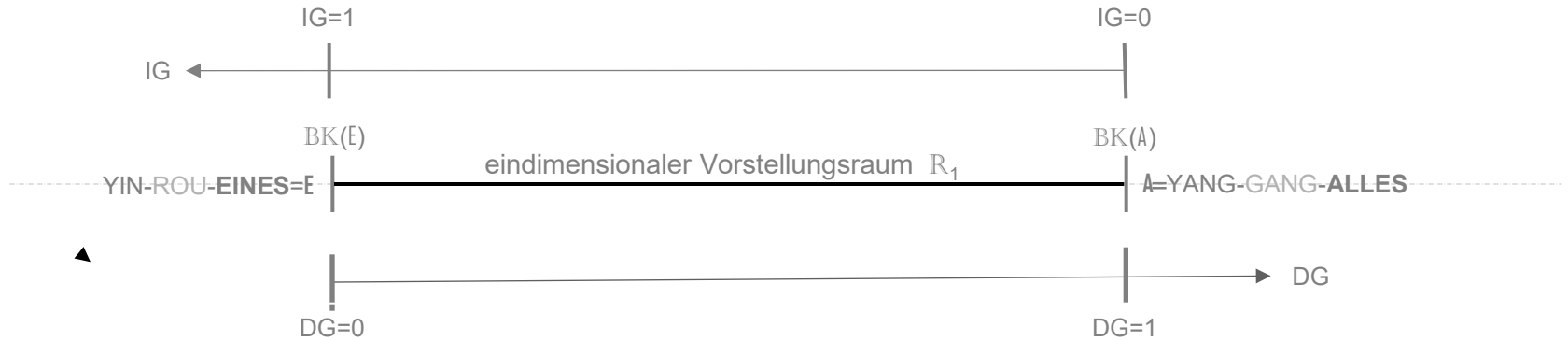


Bild 2

# Eindimensionale analytische Geometrie des Vorstellungs-Raums $R_1$

Markiert sind die Orte der Bedeutungsfeld-Mitten für den Ausdruck A und die Quellenausdrücke  $A_1, A_2$  der primären Nebenbedeutungen  $N_1$  bzw.  $N_2$  von A.

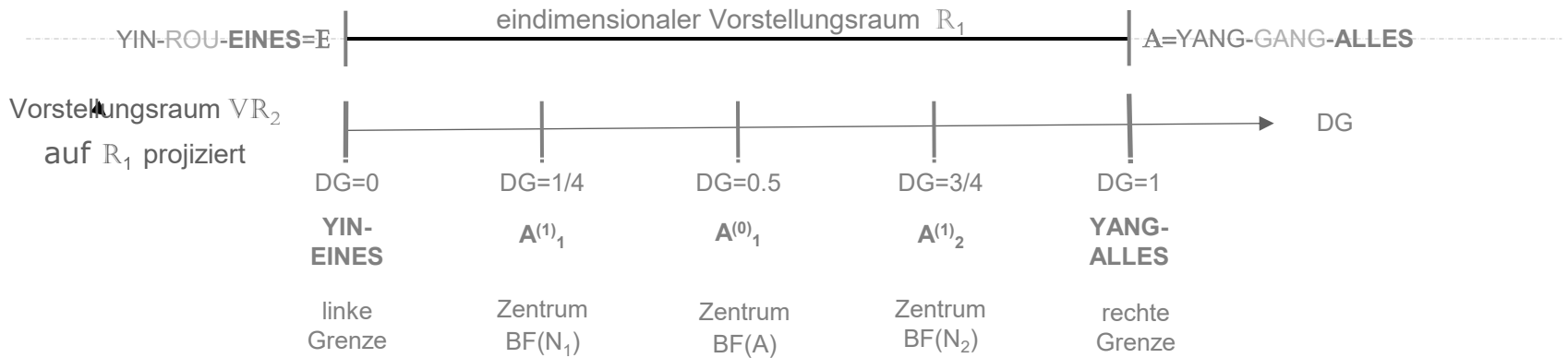


Bild 3

# Eindimensionale analytische Geometrie des Vorstellungs-Raums $R_1$

Für Momente gleicher Ordnung (Entfaltungs- bzw. Bestimmungs-Stufe) ist die DG-Achse je separat eingezeichnet

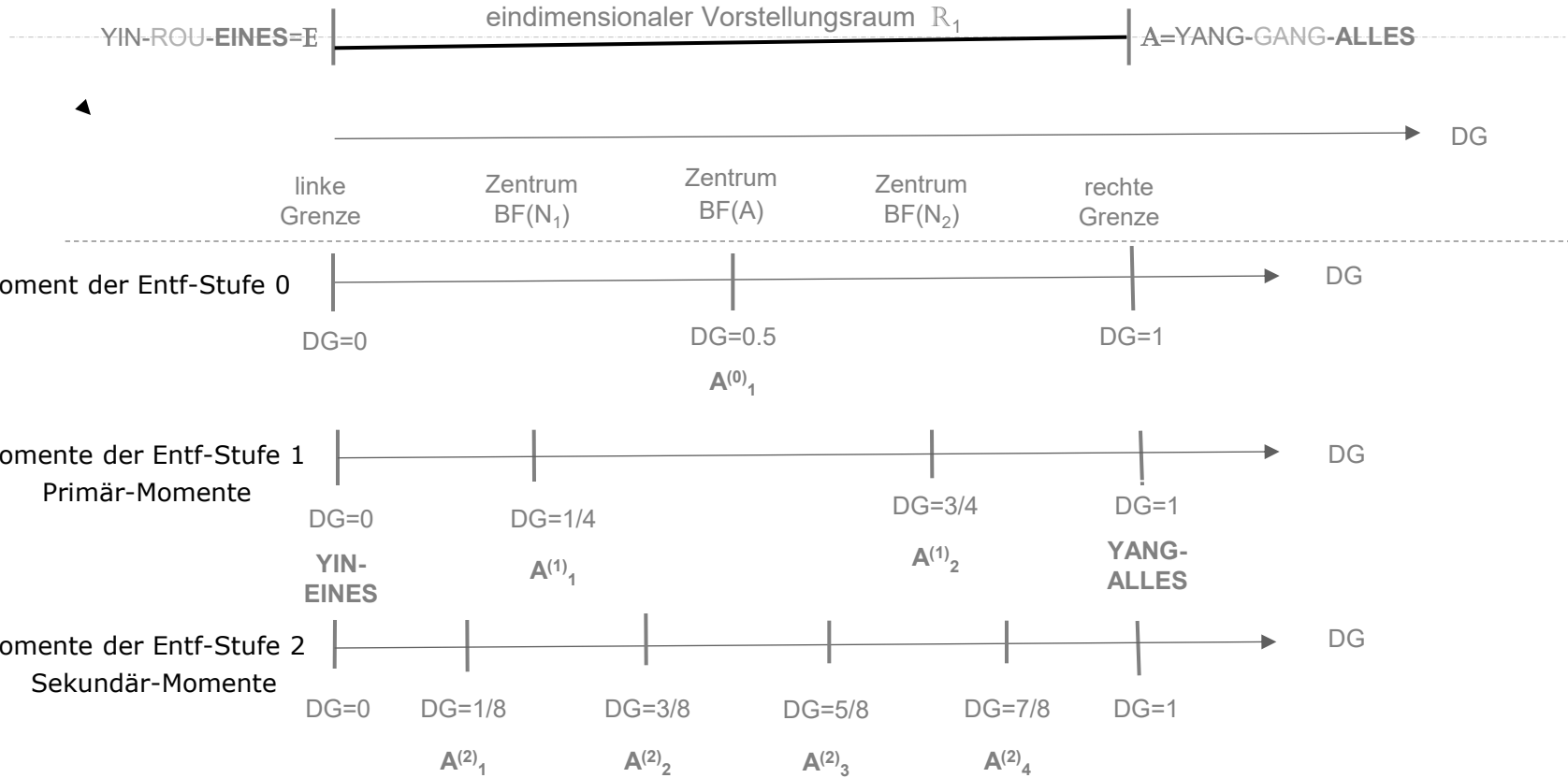
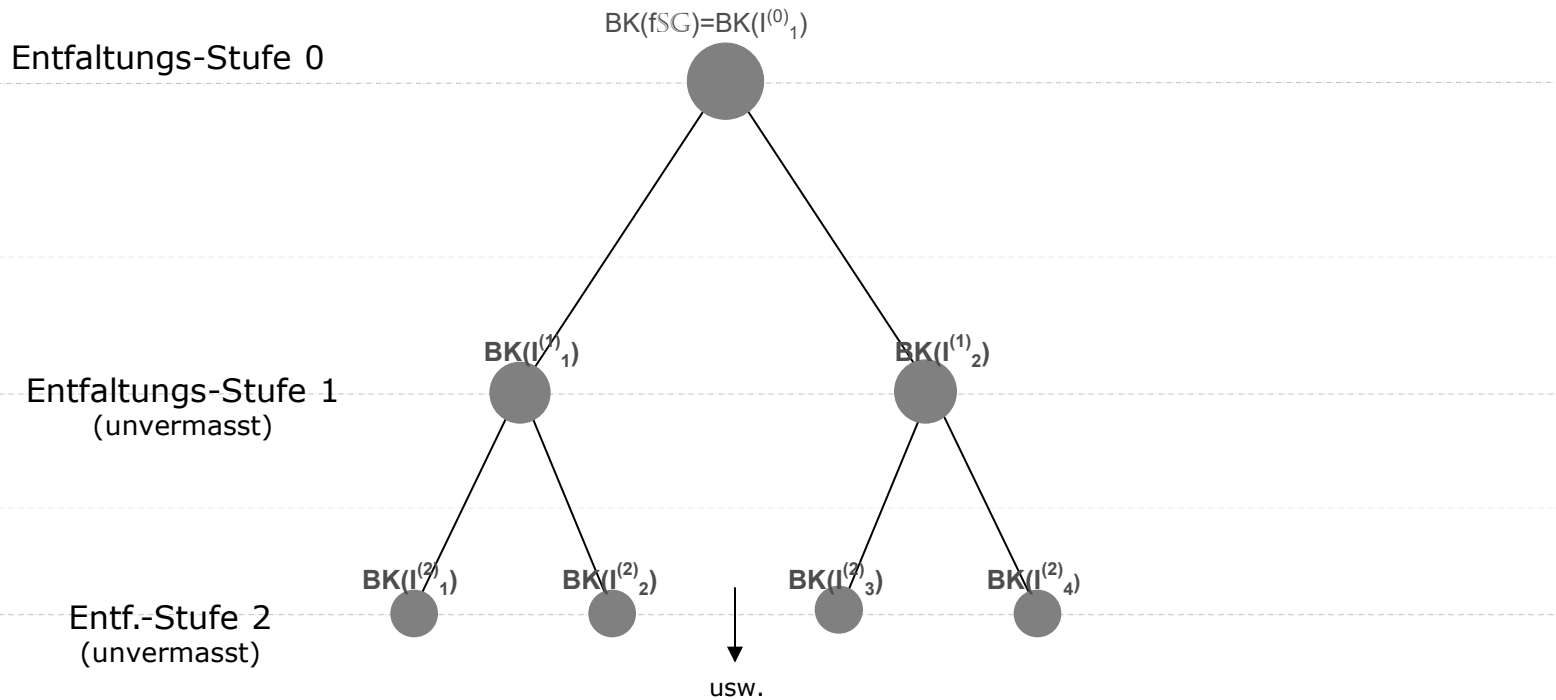


Bild 4

**Binäre Baumstruktur eines sprachlichen Subjekt-Ausdrucks  $A=I^{(0)}_1$  (oberste 2 Entfaltungs-Stufen)**  
**- Anordnung der System-Elemente  $BK(I^{(i)}_j)$  intuitiv visualisiert -**  
**zugleich inklusions-logische Kernstruktur des vom Kant-Appell nachgefragten Systems  $\Sigma(\text{fSG})$**

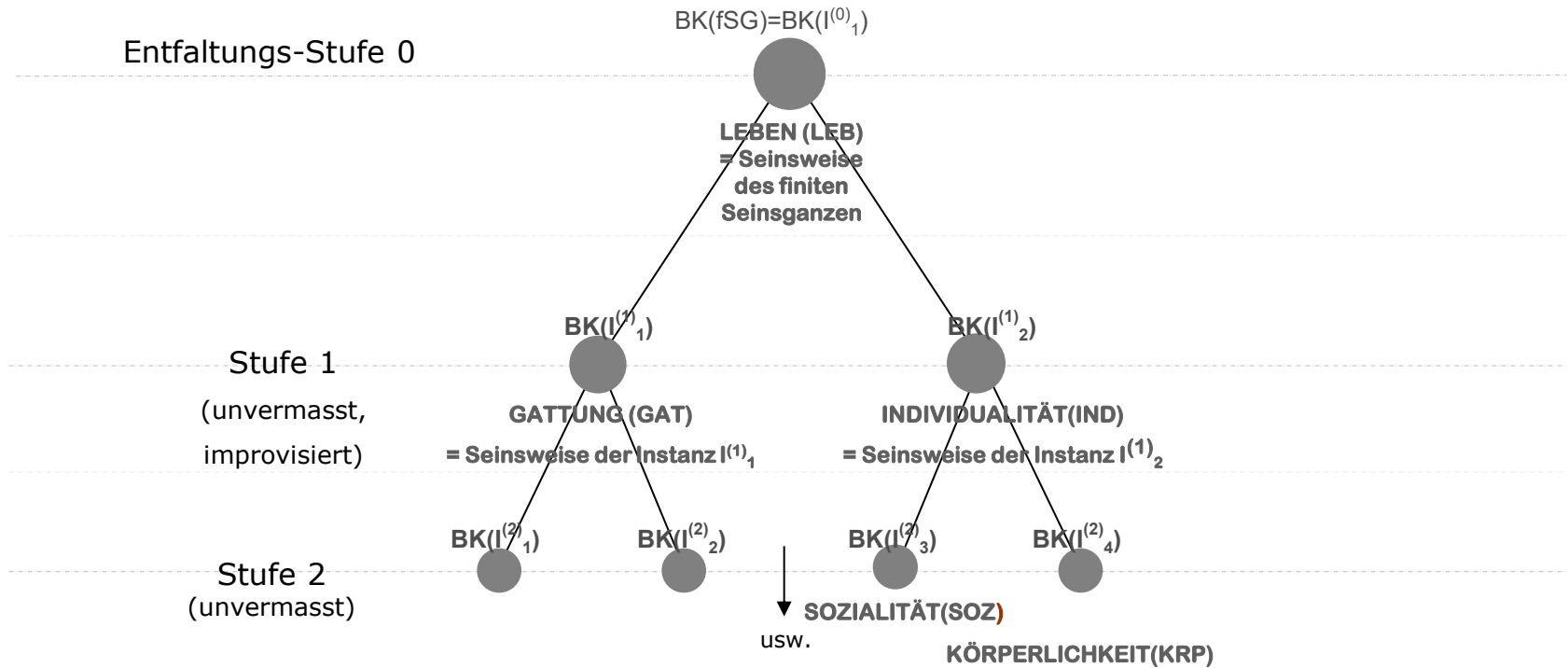


Legende: BK := Hauptbedeutung (Bedeutungskern) = Zentrum des Bedeutungsfelds  $BF(A)$  von A.  
 $I^{(i)}_j$  := Instanz Nr.j, von links, der Hierarchiestufe (Ordnung) i. **fSG := finites Seinsganzes (S $\emptyset$ ).**

Bild 5

# Binäre Baumstruktur des Instanzen-Systems - intuitiv visualisiert

wie Bild 1-2a, nun aber mit Angabe der Bedeutung für fünf der sieben System-Elemente



Legende: Unterhalb der Instanzen ist für einige von ihnen der Instanzen-Name angegeben.

Bild 6

Darstellung der erweiterten binären Baumstruktur im zwei-dimensionalen Vorstellungsraum  $VR_2$   
 für jede Bestimmungs-Stufe auf einer eigenen Achse – Schritte (Stufen) nicht mehr äquidistant

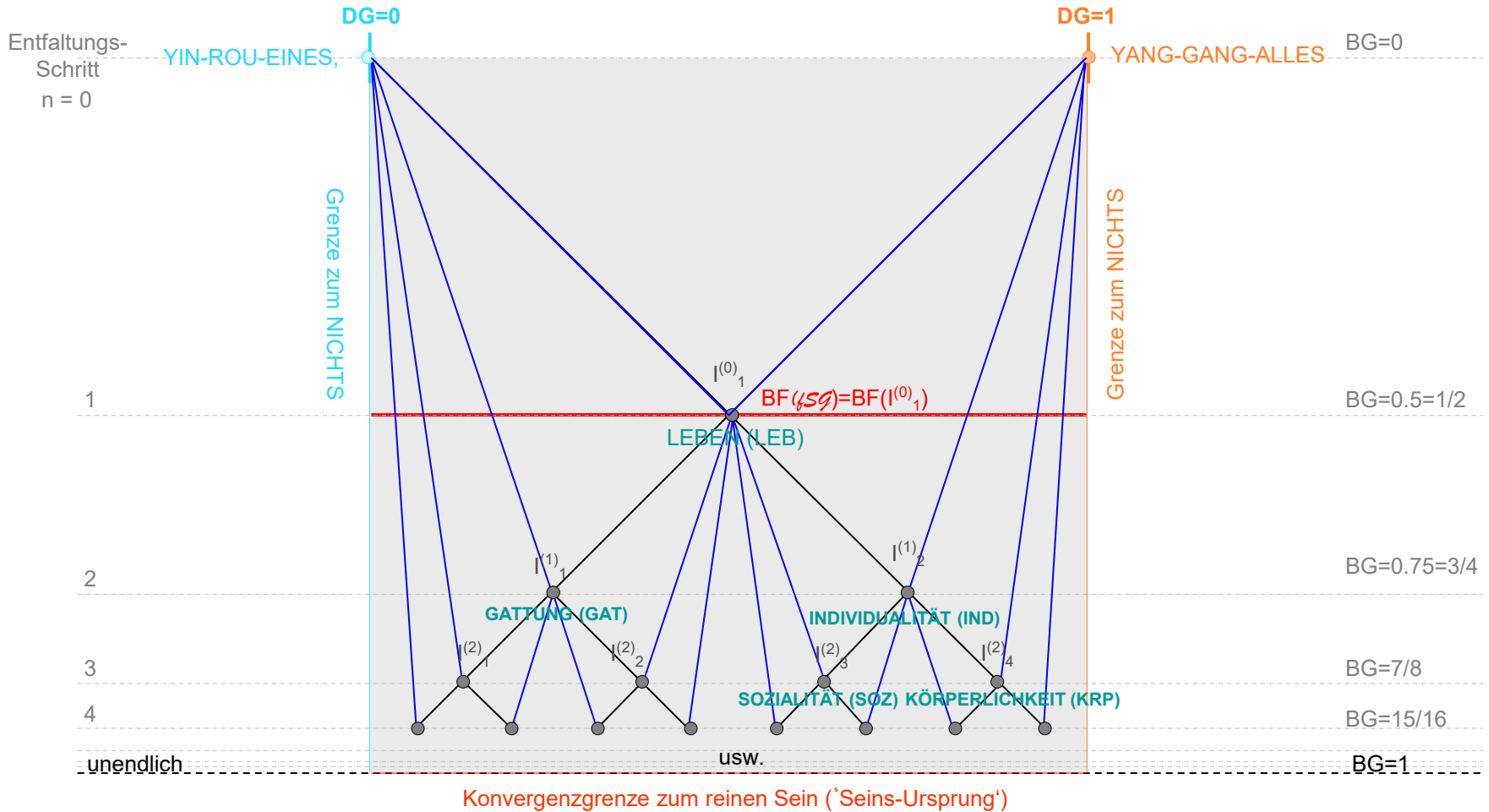


Bild 7

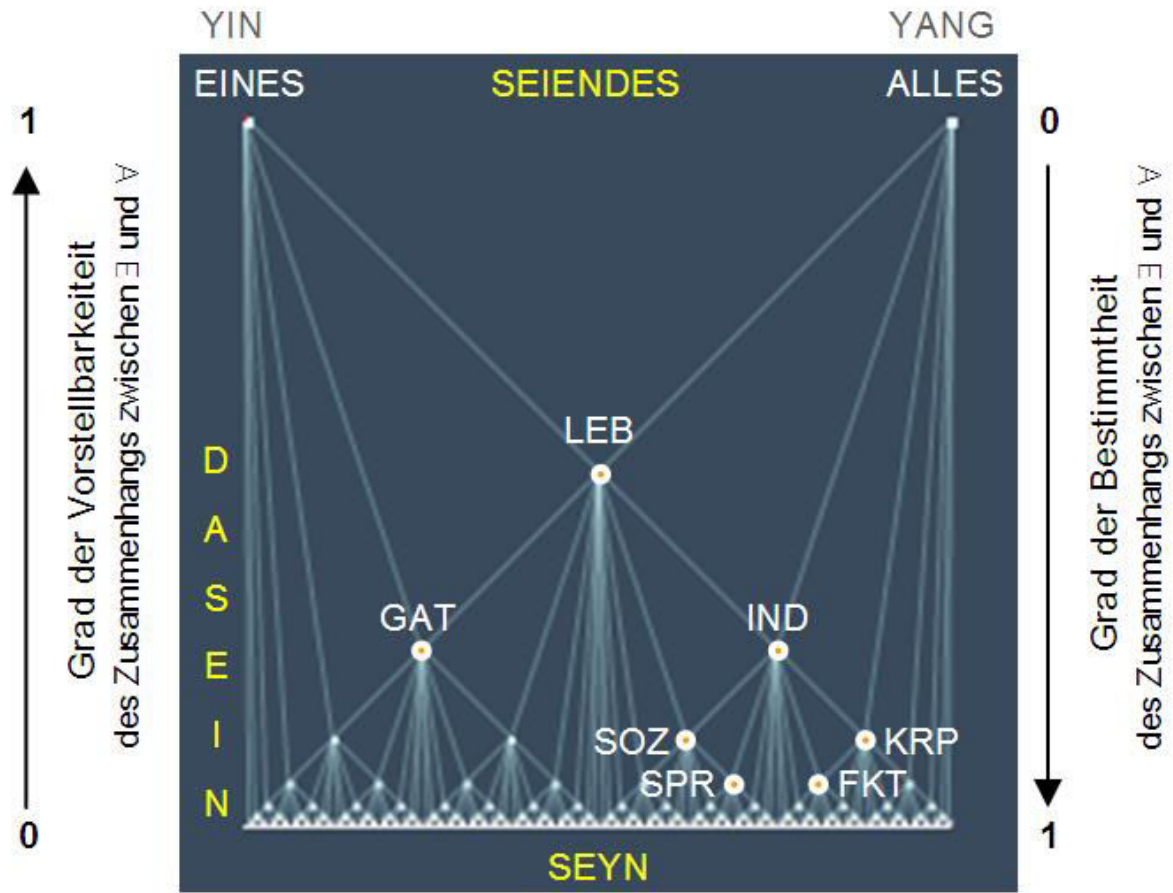


Bild 8

Überlappung der Halbfelder  $BF_E(A)$  und  $BF_A(E)$  im eindimensionalen Vorstellungsräum  $V'R_1$

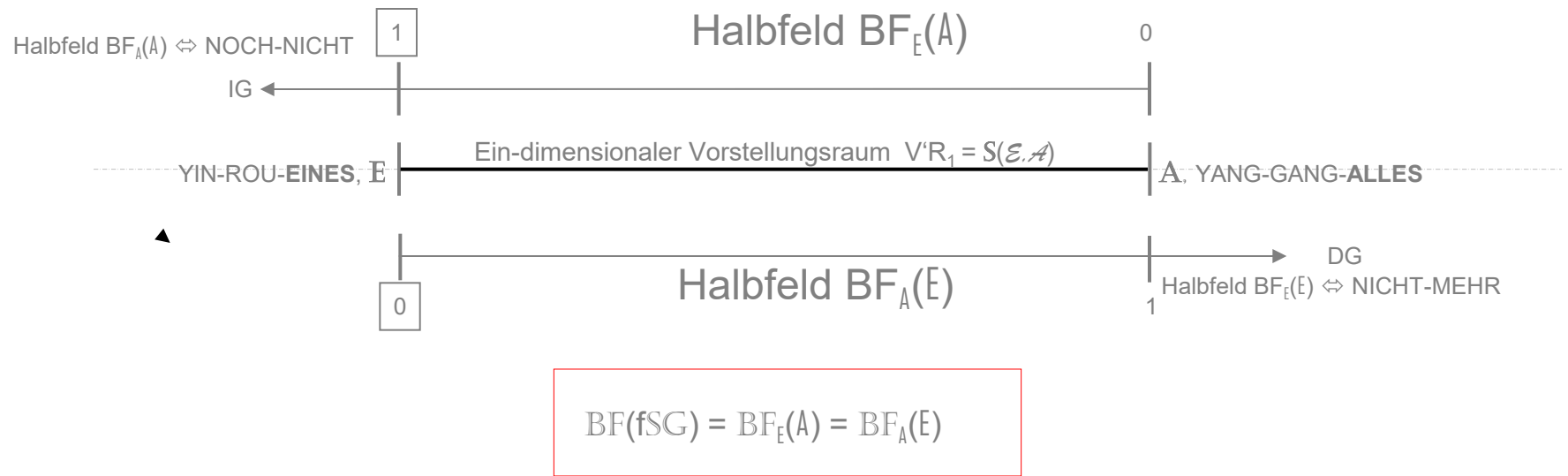


Bild 9

YIN - E

YANG - A

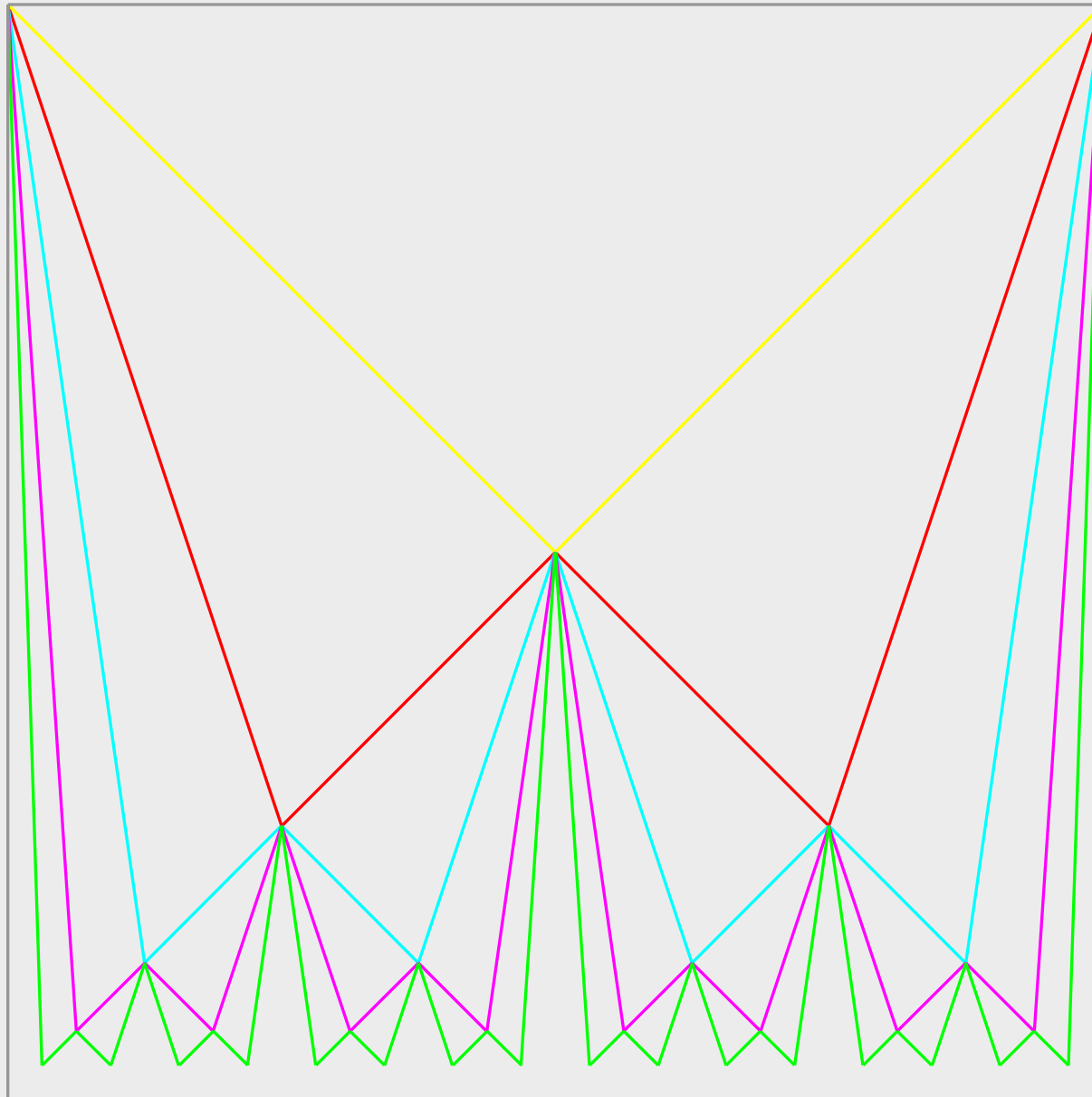


Bild 10

**Bilder 11 bis 16 (3-1 bis 3-6) veranschaulichen den lokalen dissipativen Symmetriebruch im Moment KRP der Instanz IND. (siehe Text: Abschnitt B.I.2)**



Bild 3-1: Vier Bedeutungsfelder (BND, SPR, FKT, ORG) je für sich (getrennt)

Bild 11



Bild 3-2: Bedeutungsfelder BND&SPR, sowie FKT&ORG werden symbiotisch vermittelt

Bild 12

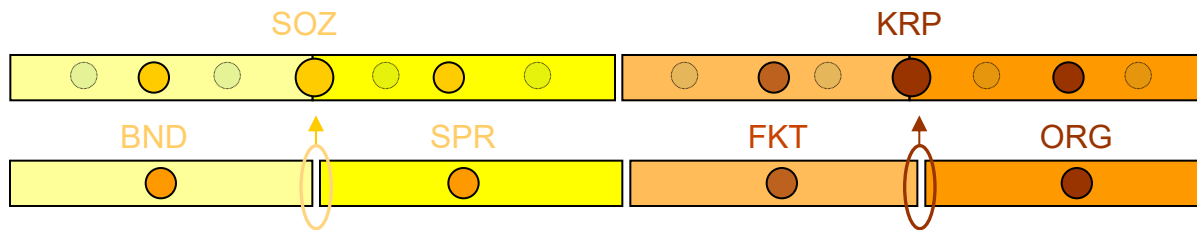


Bild 3-3: Es resultieren die neuen Bedeutungsfelder SOZ bzw. KRP.

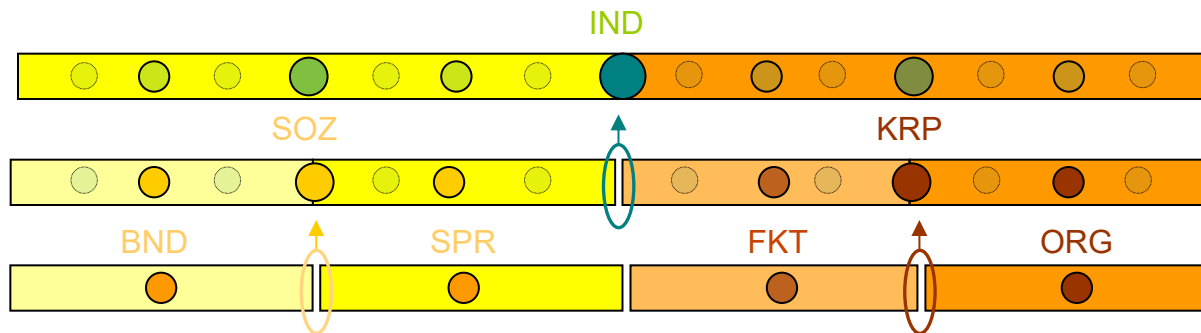
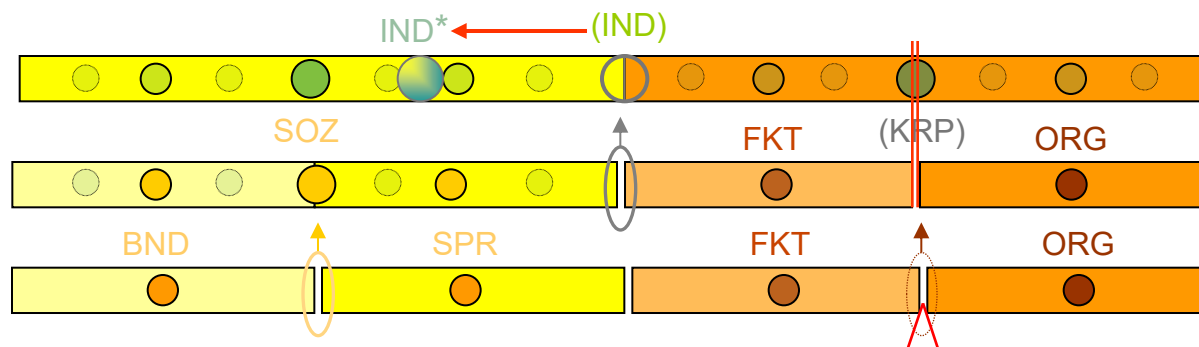
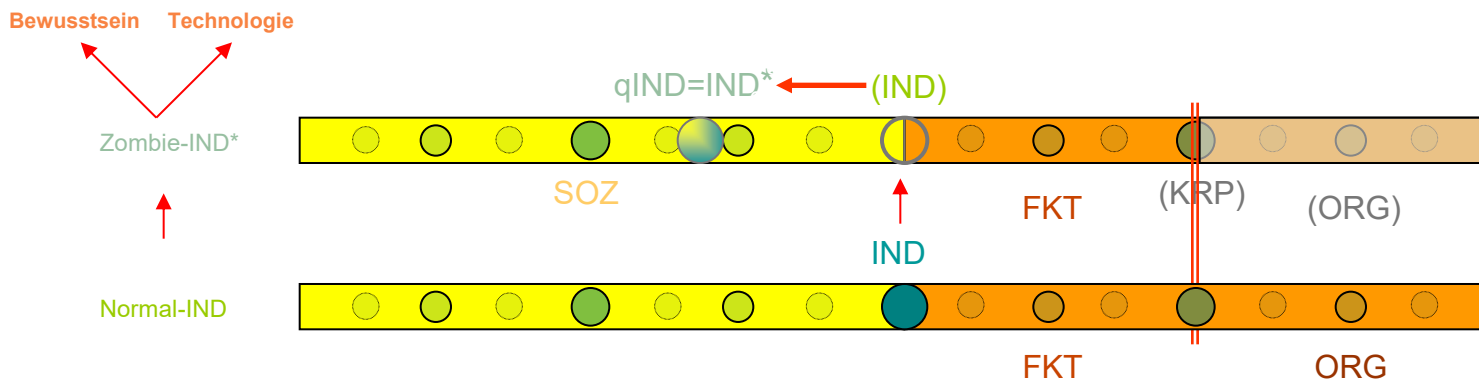


Bild 3-4: Nun werden SOZ und KRP symbiotisch vermittelt zu IND.



3-5: Nachträglich löst sich die symbiotische Vermittlung zwischen FKT und ORG.  
 Es bleibt nur Vermittlung von SOZ mit FKT; ORG wird abgespalten.



**Zusammenfassung:**

Das ideale Bedeutungsfeld BF(IND) der Instanz der Individualität [unterer Balken] geht durch den lokalen dissoziativen Symmetriebruch auf Stufe KRP über in das verschobene Feld BF(IND\*) dessen Zentrum Richtung SOZ versetzt ist [oberer Balken]

Bild 16